

# Boletín Informativo

RCCH-BOL-2025-08

Red Climatológica del Estado de Chihuahua

agosto de 2025

## Índice

<b>1</b>	<b>Introducción</b>	<b>2</b>
<b>2</b>	<b>Datos y Metodología</b>	<b>2</b>
2.1	División de zonas . . . . .	3
<b>3</b>	<b>Temperatura</b>	<b>3</b>
3.1	Anomalía de Temperatura . . . . .	3
3.2	Rango de Temperaturas por Sitio . . . . .	5
<b>4</b>	<b>Precipitación</b>	<b>7</b>
4.1	Acumulado de Precipitación . . . . .	7
4.2	Anomalía de Precipitación . . . . .	7
4.3	Día más lluvioso por sitio . . . . .	9
<b>5</b>	<b>Otras Variables</b>	<b>11</b>
5.1	Presión . . . . .	11
5.2	Velocidad de viento . . . . .	11
5.3	Radiación . . . . .	13
<b>6</b>	<b>Actualización climatológica mensual: Conclusiones</b>	<b>15</b>
<b>7</b>	<b>Conclusiones</b>	<b>15</b>

---

Folio: RCCH-BOL-2025-08

# 1 Introducción

El presente boletín informativo ofrece un análisis detallado del comportamiento de variables climáticas clave durante el mes de agosto de 2025, con base en los registros generados por la Red Climatológica del Estado de Chihuahua (RCCH). Este análisis compara los datos recientes con series históricas del periodo 2021–2025, lo que permite identificar tendencias, anomalías y eventos extremos relevantes para la gestión de riesgos climáticos y la toma de decisiones en los sectores productivo, agrícola y de protección civil.

## 2 Datos y Metodología

Los datos que sustentan este informe provienen de la red de estaciones distribuidas en puntos estratégicos del estado de Chihuahua. La información fue sometida a un proceso de verificación y depuración para garantizar su confiabilidad. Posteriormente, se realizaron cálculos de valores promedio, rangos, máximos, mínimos y anomalías, comparando los datos de agosto de 2025 con los promedios históricos del mismo mes. Los valores presentados están en horario UTC. Las gráficas presentadas ilustran visualmente estos resultados, facilitando la interpretación de las condiciones climáticas observadas.

La Figura 1 muestra que durante agosto de 2025, se identificaron cuatro estaciones con un porcentaje de datos disponibles inferior al umbral mínimo del 90% establecido para garantizar la calidad y representatividad de la información meteorológica. Esta situación se atribuye a diversas causas, como interrupciones en el suministro eléctrico, fallas en los sensores, problemas de conectividad, mantenimiento no programado o condiciones ambientales extremas que hayan afectado el funcionamiento de los equipos.

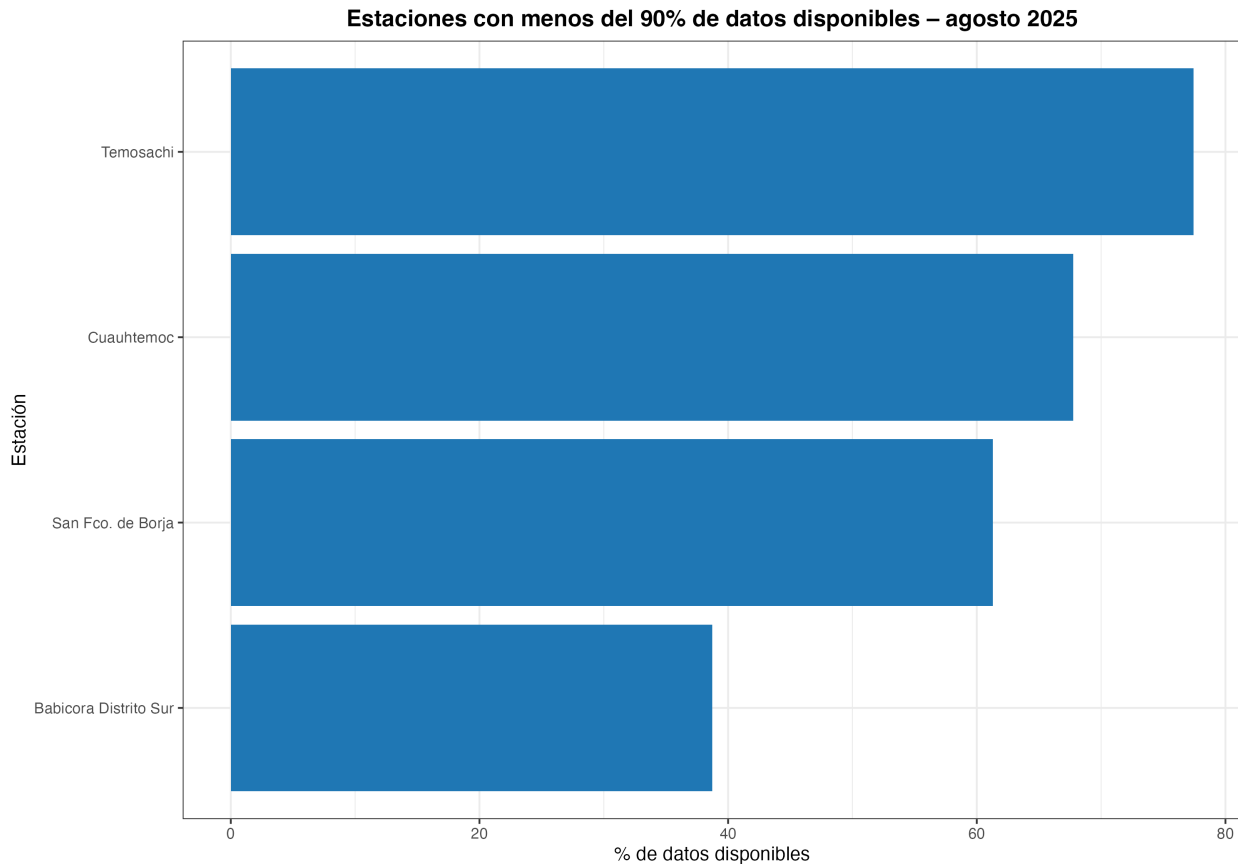


Figura 1: Sitios con menos del 90% de datos disponibles – agosto 2025

## 2.1 División de zonas

Para efectos de este análisis, los sitios de monitoreo se clasificaron en seis clusters, definidos a partir de criterios de ubicación geográfica, características climáticas predominantes y funcionalidad operativa dentro de la Red Climatológica del Estado de Chihuahua. Esta segmentación permite optimizar la representatividad espacial y facilitar la interpretación comparativa de los registros obtenidos.

Zona 0: Comprende estaciones ubicadas en la franja fronteriza norte y región noroccidental, tales como Ahumada, Ascensión, Juárez, Palomas, Práxedis y Ricardo F. Magón. La ubicación estratégica de estos puntos permite caracterizar condiciones climáticas transfronterizas y corredores de intercambio regional. Santa Isabel se incluye como nodo de control adicional hacia la porción centro-sur del estado.

Zona 1: Agrupa estaciones situadas en la región centro-sur y zona de llanuras, incluyendo Aldama, Camargo, Jiménez, Parral, Coronado y Valle de Zaragoza, así como nodos relevantes en el área metropolitana de Chihuahua (CHIH\_Pcivil, CHIH\_Potb, CHIH\_JCAS). Este cluster concentra zonas de alta actividad económica, agroindustrial y administrativa, representando uno de los sectores con mayor densidad de población y cobertura de infraestructura.

Zona 2: Corresponde a la región de la Sierra Tarahumara y áreas de altitud media y alta en el occidente del estado, con sitios como Creel, Cuauhtémoc, Guerrero, Madera, San Juanito y Temósachi. Esta agrupación permite evaluar dinámicas de microclimas de montaña, gradientes térmicos, precipitaciones orográficas y ecosistemas forestales.

Zona 3: Incluye estaciones ubicadas en la porción oriental y noreste del territorio estatal, conformada por Coyame, Manuel Benavides y Ojinaga. Estas estaciones se consideran representativas de zonas de transición hacia cuencas interiores, caracterizadas por climas semiáridos y relevancia estratégica por su localización limítrofe con Coahuila y Texas.

Zona 5: Reúne estaciones localizadas en el área urbana de Ciudad Juárez (Don Bosco, IIT 01, Bomberos 9 Anapra, Clínica Nutrición UACJ y Babícora Distrito Sur). Este cluster urbano tiene como objetivo capturar variabilidad espacial intraurbana, efectos de isla de calor y dinámicas locales relacionadas con procesos urbanos e industriales.

La delimitación de estos clusters responde a la necesidad de estructurar el análisis de forma coherente con la distribución territorial y funcional de la red, garantizando consistencia técnica y operativa en la interpretación de los datos (Figura 2).

## 3 Temperatura

### 3.1 Anomalía de Temperatura

Durante agosto de 2025 se registraron anomalías de temperatura con un marcado contraste espacial en el estado de Chihuahua (Figura 3). En la región norte y centro-noroeste —particularmente en San Francisco de Borja, Cuauhtémoc, Camargo, Juárez y Ascensión— las temperaturas se ubicaron por encima del promedio histórico, alcanzando anomalías positivas superiores a  $+2^{\circ}\text{C}$  en algunos casos. Este calentamiento podría estar asociado con menor nubosidad y precipitación, así como con la intensificación del efecto de isla de calor en zonas urbanas. Por el contrario, en las zonas serranas y del suroeste se observaron anomalías negativas notables, destacando San Juanito con un enfriamiento cercano a  $-6^{\circ}\text{C}$ , además de Coronado, Balleza y Manuel Benavides con descensos de entre  $-1^{\circ}\text{C}$  y  $-3^{\circ}\text{C}$ . Estas condiciones más frías se relacionan con la influencia de sistemas meteorológicos locales como tormentas frecuentes, vaguadas y el efecto orográfico que favorece mayor humedad y nubosidad. El balance general revela que agosto no presentó un comportamiento uniforme, sino que estuvo caracterizado por una heterogeneidad climática marcada: regiones cálidas en el norte y centro contrastaron con enfriamientos intensos en la sierra. Este patrón resalta la influencia combinada de factores regionales como el monzón de Norteamérica y la circulación atmosférica, junto con determinantes locales como la altitud y la cobertura nubosa, lo cual tiene implicaciones relevantes en la agricultura, la disponibilidad hídrica, la salud y la demanda energética en diferentes partes del estado.

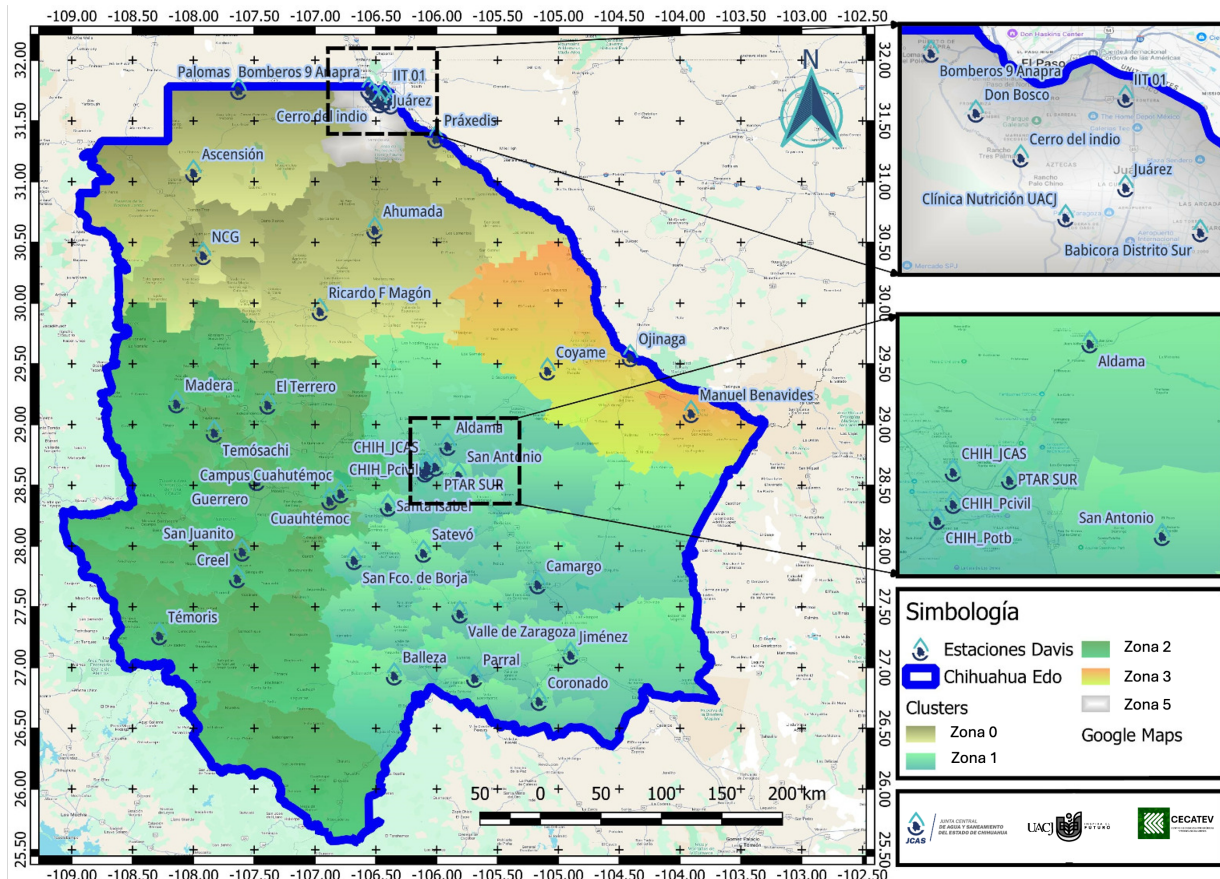


Figura 2: Zonificación Red Climatológica del Estado de Chihuahua

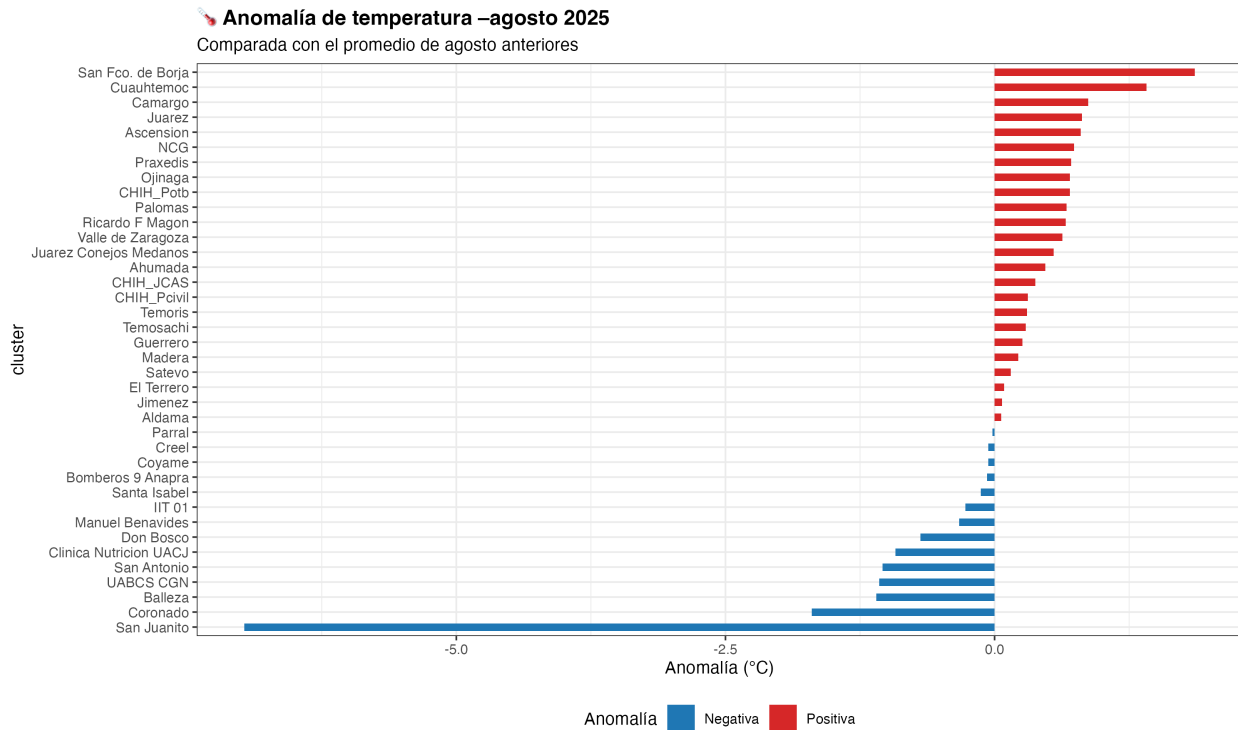


Figura 3: Anomalía en temperatura para agosto (2021–2025)

### 3.2 Rango de Temperaturas por Sitio

El análisis del rango de temperaturas por cluster durante agosto de 2025 evidencia variaciones importantes entre las distintas zonas del estado de Chihuahua (Figura 4). En Zona 0, que agrupa localidades del norte y centro, los promedios oscilaron entre 25 °C y 30 °C, con amplitudes moderadas; Juárez, Ascensión y Praxedis registraron valores relativamente altos, mientras que Santa Isabel y Ricardo Flores Magón presentaron los promedios más bajos dentro de este grupo.

En Zona 1, que incluye estaciones del centro-sur y algunas urbanas, los promedios fueron más variables, con un rango que va desde valores cercanos a 18 °C (Coronado y Balleza) hasta más de 25 °C en Camargo y Aldama. Destaca el caso de PTAR SUR, que mostró un rango muy amplio, lo que sugiere episodios de alta variabilidad térmica posiblemente ligados a condiciones locales de microclima y dinámica atmosférica. La Zona 2, conformada principalmente por localidades serranas, exhibió los valores más bajos del estado. San Juanito se ubicó con un promedio cercano a 10 °C, confirmando su papel como una de las regiones más frías, mientras que municipios como Cuauhtémoc, Guerrero y Madera tuvieron promedios entre 15 °C y 20 °C, reflejando el efecto de la altitud y la orografía sobre el comportamiento térmico.

En contraste, la Zona 3 (Ojinaga, Manuel Benavides y Coyame) presentó los valores más elevados, con promedios cercanos a 30–32 °C y máximos que alcanzaron los 40–45 °C. Estas condiciones refuerzan el carácter árido y cálido del oriente del estado, donde la amplitud térmica fue mayor debido a la fuerte radiación diurna y al descenso nocturno de temperatura.

En conjunto, los resultados muestran una clara heterogeneidad espacial del clima en agosto de 2025: mientras que la sierra se mantuvo con temperaturas significativamente bajas, el oriente y parte del norte presentaron los registros más cálidos del estado. Este comportamiento está fuertemente modulado por factores topográficos (altitud y relieve), además de condiciones atmosféricas regionales, lo que resalta la importancia de analizar los datos por zonas para comprender los contrastes climáticos y sus posibles implicaciones en agricultura, salud y gestión de recursos hídricos.

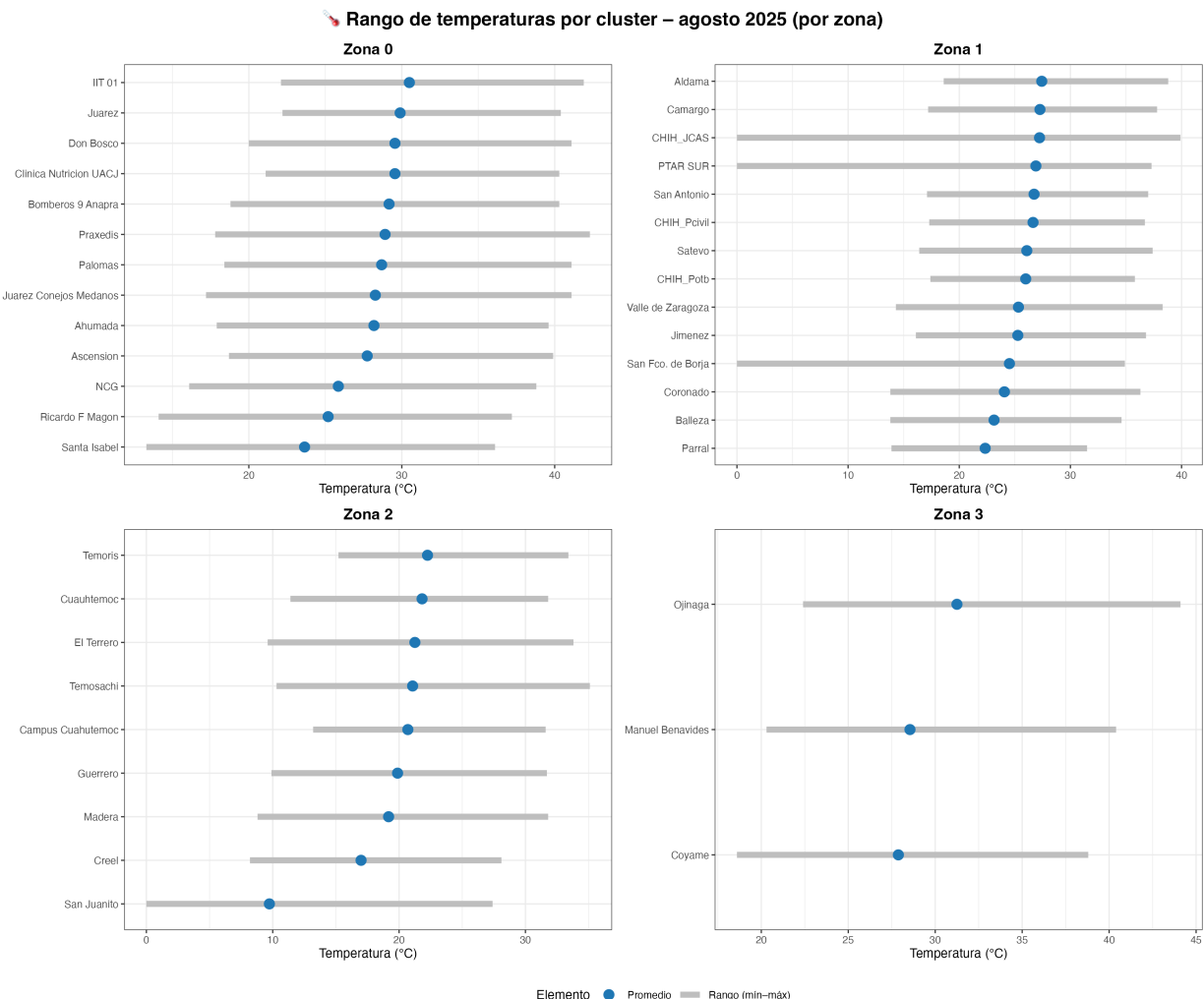


Figura 4: Comportamiento en temperatura para agosto 2025

## 4 Precipitación

### 4.1 Acumulado de Precipitación

Durante el mes de agosto de 2025 se registró una actividad pluvial significativa en gran parte del estado de Chihuahua, con acumulados variables entre zonas y sitios de monitoreo. El gráfico presenta los acumulados de precipitación mensuales (agosto 2025) en barras azules, comparados con los acumulados totales del año hasta esa fecha (en gris), agrupados por zonas operativas (Figura 5).

En Zona 0, las estaciones con mayores acumulados fueron Santa Isabel, Ricardo Flores Magón y NCG, con registros superiores a 100 mm en agosto. Sin embargo, en sitios como Juárez, IIT 01, Praxedis y Don Bosco los valores fueron considerablemente menores, lo que confirma la fuerte variabilidad espacial de las lluvias en la región norte. La Zona 1 concentró los valores más altos del estado. Estaciones como Coronado, Balleza, Aldama, Parral y San Antonio superaron los 150 mm en agosto, destacando además PTAR SUR con un volumen acumulado significativo dentro de su total anual. Esta zona refleja de manera clara la influencia del monzón de Norteamérica, que durante agosto suele intensificar las lluvias en el sur y centro de Chihuahua.

En la Zona 2, correspondiente a la región serrana, las estaciones de Creel, Temoris y San Juanito registraron acumulados elevados, superando los 150 mm en el mes, mientras que otras como Madera, Guerrero y Cuauhtémoc mostraron valores más moderados. El contraste evidencia la influencia orográfica, con mayores precipitaciones en las zonas más altas. Finalmente, en la Zona 3 (oriente del estado) los registros fueron considerablemente menores. Tanto en Manuel Benavides como en Coyame se observó actividad de lluvias, aunque con acumulados más bajos respecto a otras zonas, mientras que en Ojinaga prácticamente no se registró precipitación significativa en agosto.

En conjunto, los datos muestran que agosto de 2025 se caracterizó por un patrón desigual de lluvias, con intensidades destacadas en el centro-sur y en la sierra, mientras que el norte y oriente permanecieron más secos. Este comportamiento coincide con la dinámica típica de la temporada de monzón, pero con énfasis en la concentración de lluvias en regiones serranas y del centro del estado, lo cual puede tener implicaciones en la recarga hídrica, disponibilidad agrícola y riesgos asociados a inundaciones locales.

### 4.2 Anomalía de Precipitación

El análisis de las anomalías de precipitación acumulada en agosto de 2025, comparadas con los promedios históricos del mismo mes en años anteriores, muestra un patrón generalizado de déficit de lluvias en gran parte del estado de Chihuahua, con pocas excepciones de exceso (Figura 6).

En el extremo positivo, únicamente algunas estaciones como Coronado, Bomberos 9 Anapra, NCG, Creel y San Antonio registraron excesos moderados, alcanzando hasta +75 mm respecto al promedio. Estos casos puntuales reflejan la influencia localizada de tormentas convectivas intensas y de la variabilidad espacial típica de la precipitación durante la temporada de monzón.

Sin embargo, la tendencia predominante fue de déficit pluviométrico, con valores negativos significativos en la mayoría de las estaciones. Destacan San Francisco de Borja, Valle de Zaragoza, Guerrero y San Juanito, que registraron anomalías negativas entre -100 mm y -150 mm. Otras localidades como Cuauhtémoc, Santa Isabel, Temoris y Parral también se ubicaron por debajo de lo normal, aunque con déficits menos extremos.

Este comportamiento evidencia que, aunque el monzón de Norteamérica aportó lluvias en sectores puntuales, la mayor parte del territorio estatal experimentó un agosto más seco de lo habitual, lo que puede tener implicaciones relevantes para la recarga hídrica, la humedad de suelos y la disponibilidad de agua para actividades agrícolas y ganaderas. Además, la combinación de déficit de precipitación con anomalías positivas de temperatura en varias regiones podría agravar el estrés hídrico y aumentar la vulnerabilidad de los ecosistemas y comunidades rurales.

En conclusión, agosto de 2025 se caracterizó por un balance pluviométrico desfavorable para la mayoría del estado, con déficits extendidos que contrastan con pocos núcleos de exceso asociados a tormentas locales, reflejando un patrón desigual y de alto impacto en la dinámica hidroclimática regional.

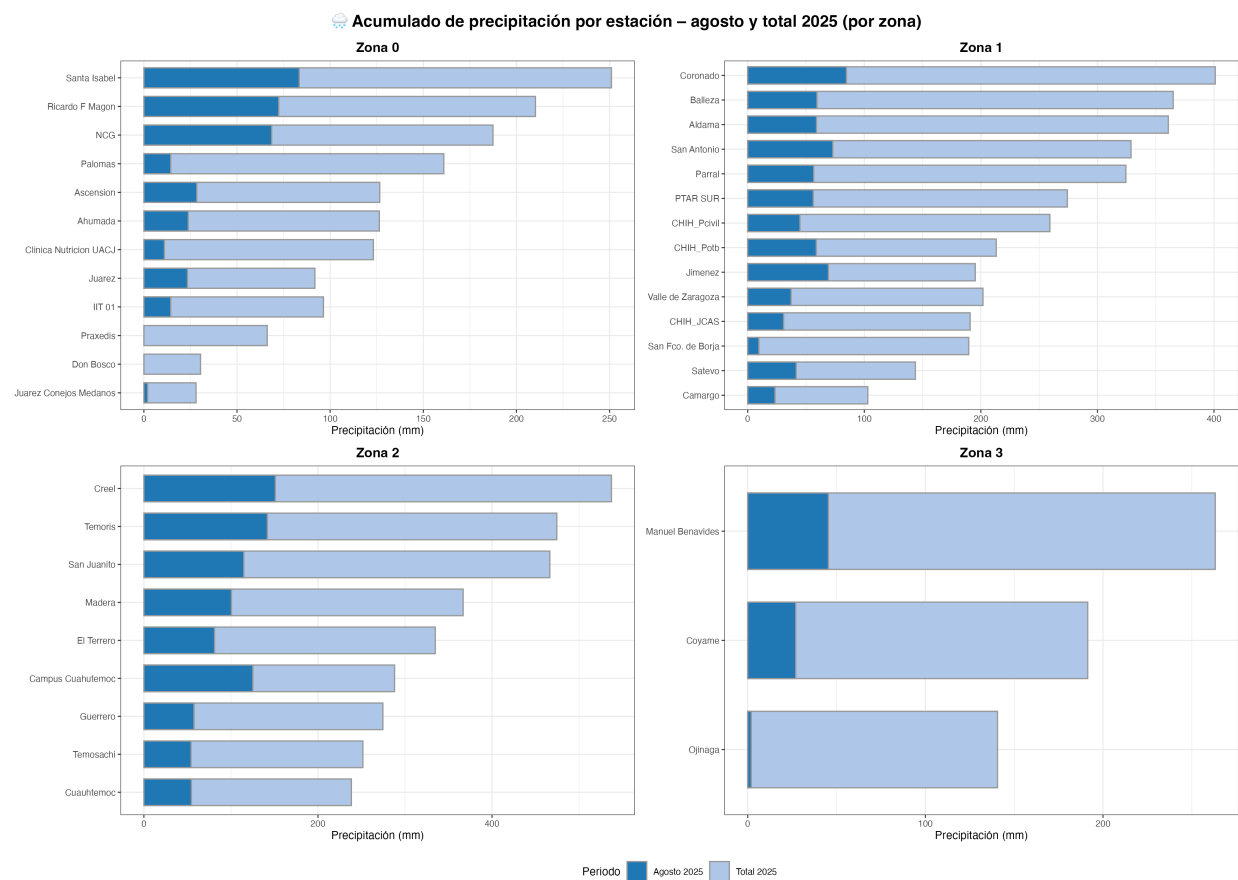


Figura 5: Acumulado de precipitación para agosto 2025 vs primer semestre 2025

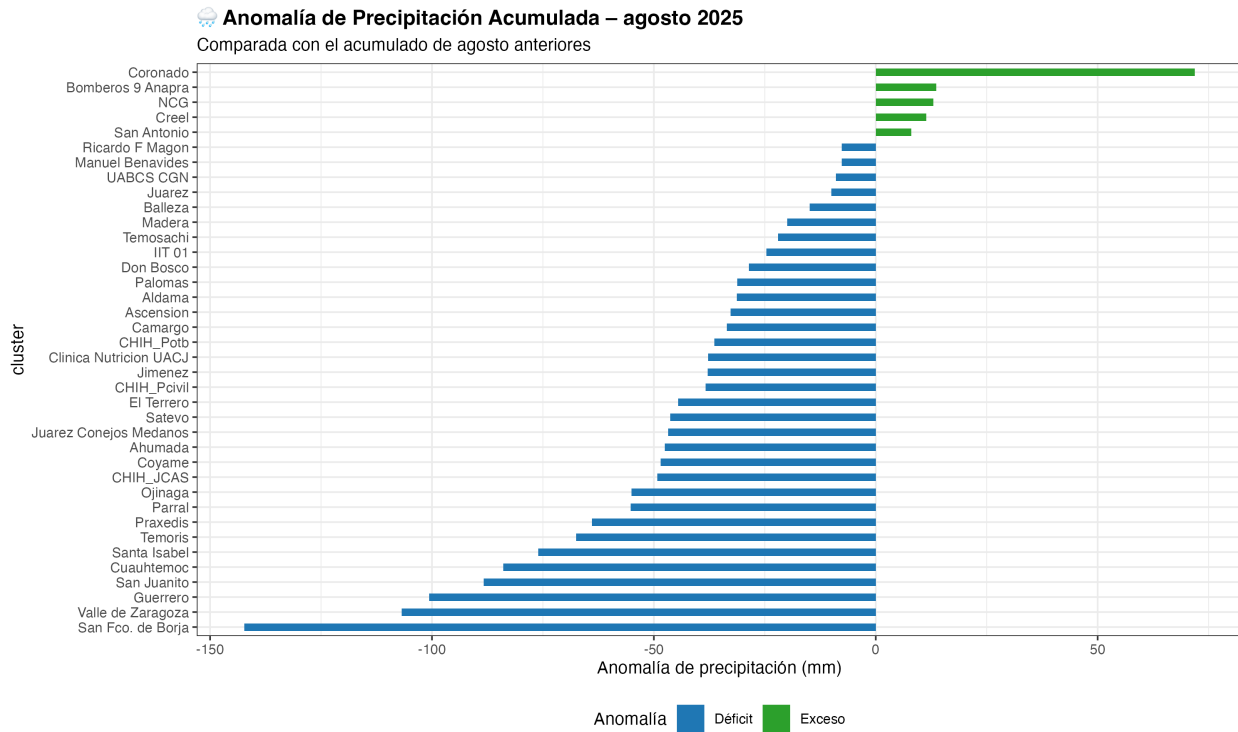


Figura 6: Anomalía de acumulado de precipitación para agosto (2021–2025)

#### 4.3 Día más lluvioso por sitio

El análisis de la precipitación diaria en agosto de 2025 revela que, aunque el acumulado mensual presentó déficits en varias regiones, se registraron eventos puntuales de alta intensidad en distintas estaciones. La figura 7 muestra únicamente aquellas localidades donde hubo al menos un día con acumulados superiores a 50 mm, lo que permite identificar la ocurrencia de lluvias extremas.

Los máximos más destacados se concentraron alrededor de la segunda quincena del mes (15–20 de agosto), periodo en el que estaciones como Creel, San Juanito, NCG, Temoris y Santa Isabel registraron episodios intensos, alcanzando hasta 60 mm en un solo día en el caso de Creel. Asimismo, hacia finales de agosto (25–31 de agosto) se observaron lluvias fuertes en estaciones de la sierra y del centro-sur como Guerrero, Balleza, Aldama y CuauhTEMOC, confirmando la persistencia de tormentas locales asociadas a la actividad convectiva propia del monzón de Norteamérica.

El patrón general indica que, pese a los déficits pluviométricos mensuales señalados en el análisis de anomalías, los eventos extremos se concentraron en lapsos cortos, lo que genera impactos diferenciados:

Por un lado, contribuyen poco a la recarga hídrica de largo plazo debido a su distribución irregular. Por otro, incrementan el riesgo de inundaciones locales y escurrimientos súbitos, especialmente en áreas urbanas o con suelos saturados.

En síntesis, agosto de 2025 estuvo caracterizado por una baja regularidad en la distribución de lluvias, con varios días secos intercalados con tormentas intensas y aisladas. Este comportamiento refleja la alta variabilidad intra-mensual de la precipitación en Chihuahua, lo que implica desafíos tanto para la planificación agrícola como para la gestión de riesgos hidrometeorológicos.

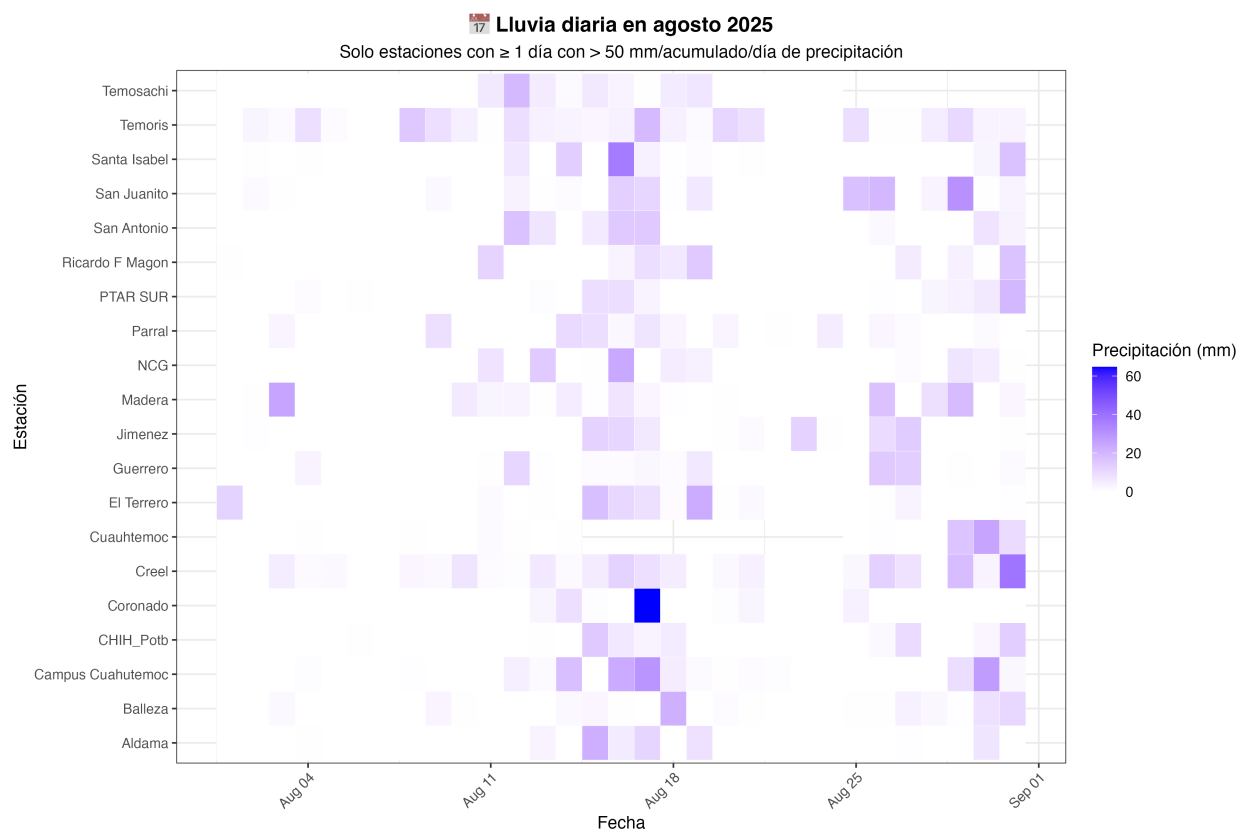


Figura 7: Eventos de lluvia extrema para agosto (2021–2025)

## 5 Otras Variables

### 5.1 Presión

El análisis del rango de presión atmosférica en agosto de 2025 muestra una relativa homogeneidad en los valores promedio entre las diferentes zonas del estado de Chihuahua, aunque con variaciones notables en los rangos diarios registrados en ciertas estaciones (Figura 8).

En la Zona 0 (norte y parte del centro), los promedios oscilaron entre 1004 y 1010 mb, con mayor estabilidad en estaciones como Santa Isabel, NCG y Ascensión, mientras que en IIT 01 y Juárez Conejos Medanos se observaron rangos más amplios, lo que sugiere mayor variabilidad local posiblemente vinculada con cambios en los sistemas de viento o la cercanía de perturbaciones atmosféricas.

La Zona 1 (centro-sur) presentó valores promedio similares, cercanos a 1008–1012 mb, destacando estaciones como Balleza, Parral y Coronado con presiones ligeramente más altas. Algunas estaciones urbanas como CHIH\_Pcivil y CHIH\_JCAS reflejaron variaciones menores, lo que indica condiciones relativamente estables en esta región durante agosto.

En la Zona 2 (sierra), las estaciones como Creel, Madera, San Juanito y Temoris se mantuvieron en un rango de 1007–1011 mb, mostrando la influencia de la altitud en la disminución relativa de presión, aunque con variabilidad más amplia en sitios como Guerrero y Campus Cuauhtémoc, posiblemente asociada a efectos orográficos y dinámicas locales de circulación atmosférica.

Finalmente, la Zona 3 (oriente del estado) mostró valores de presión cercanos a 1008–1010 mb en promedio, con amplitudes más amplias en Ojinaga y Manuel Benavides, donde los registros se extendieron hasta  $\pm 6$  mb respecto al promedio diario, reflejando mayor sensibilidad a las fluctuaciones sinóticas y regionales.

En términos generales, agosto de 2025 se caracterizó por valores de presión estables a nivel estatal, con diferencias esperadas entre zonas bajas y altas debido al factor altitudinal. Sin embargo, los rangos amplios en algunas estaciones del oriente y norte sugieren episodios de variabilidad atmosférica que podrían estar asociados a la interacción de sistemas de baja presión vinculados al monzón de Norteamérica y la presencia intermitente de ondas tropicales.

### 5.2 Velocidad de viento

El análisis de la velocidad del viento durante agosto de 2025 revela un comportamiento variable entre zonas, con registros de velocidades máximas elevadas en múltiples regiones del estado. El gráfico presentado ilustra tres elementos clave por sitio: el promedio mensual (puntos azules), el rango completo de valores (línea gris entre mínimo y máximo) y la velocidad máxima puntual registrada (triángulo rojo) (Figura 9).

En la Zona 0 (norte), los valores promedio fueron modestos, entre 5 y 10 km/h, sin embargo, las ráfagas máximas alcanzaron hasta 80 km/h en estaciones como Ricardo Flores Magón y Ascensión, además de registros elevados en Juárez y Palomas. Esto indica la presencia de eventos aislados de viento fuerte que contrastan con la calma predominante.

La Zona 1 (centro-sur) mostró un comportamiento similar: promedios bajos, pero ráfagas extremas de hasta 75–80 km/h en Parral y PTAR SUR, con valores también significativos en Aldama, Jiménez y San Francisco de Borja. Estas condiciones sugieren la incidencia de tormentas locales con vientos intensos durante el mes.

En la Zona 2 (sierra), los promedios oscilaron entre 5 y 12 km/h, pero las ráfagas máximas fueron destacadas en Campus Cuauhtémoc, Creel, Madera y San Juanito, con registros entre 50 y 65 km/h. La topografía serrana favorece la canalización y aceleración de vientos, explicando las diferencias entre los promedios estables y los picos extremos.

Por último, en la Zona 3 (oriente), las estaciones de Ojinaga, Manuel Benavides y Coyame tuvieron promedios bajos, pero con ráfagas que superaron los 60 km/h en Ojinaga, lo que refleja la exposición de esta región a flujos más intensos en eventos puntuales.

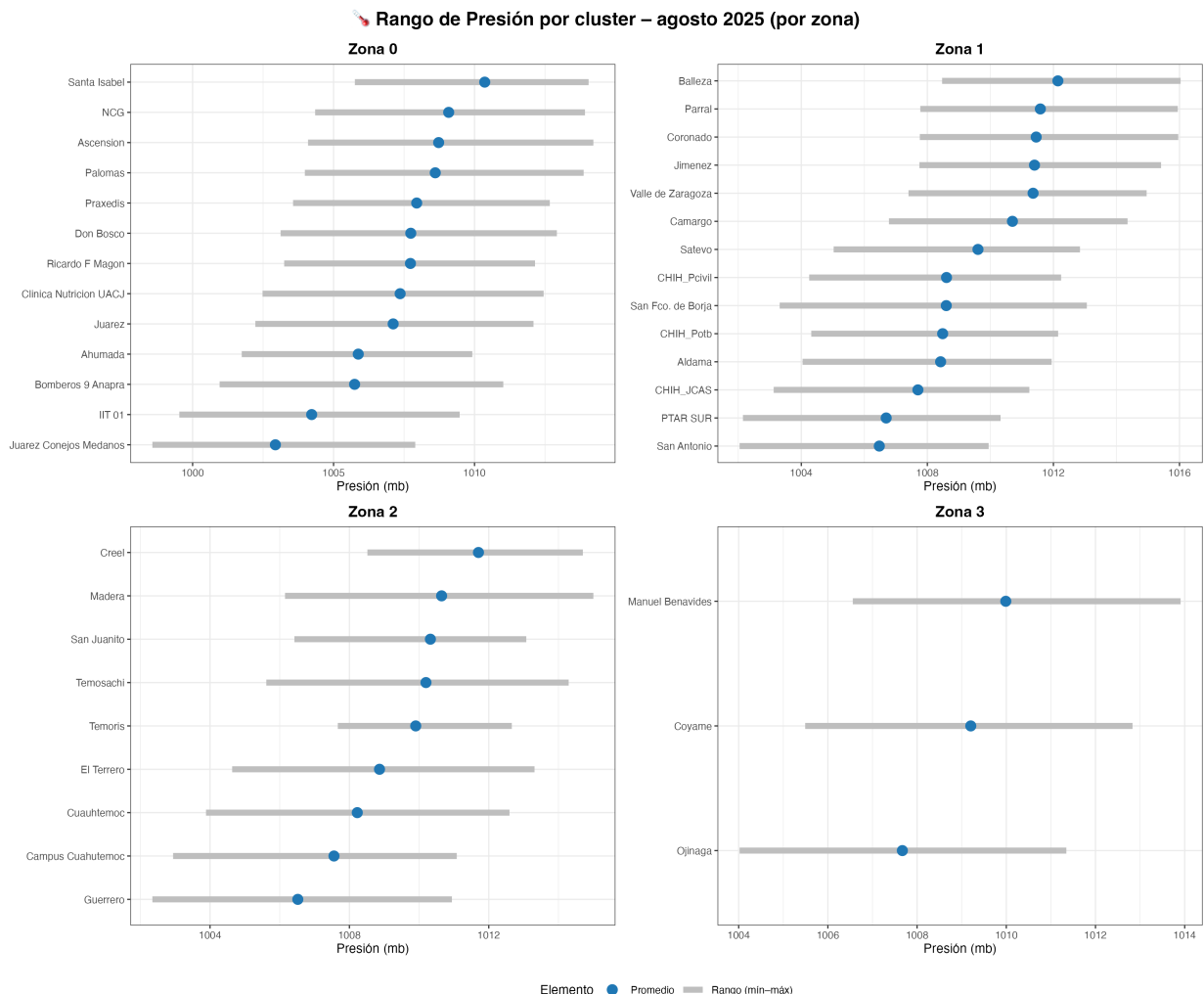


Figura 8: Comportamiento de la presión barométrica para agosto 2025

En términos generales, agosto de 2025 se caracterizó por un patrón de viento estable en promedio, pero con eventos aislados de alta intensidad en todas las zonas. Estos episodios de ráfagas extremas, asociados principalmente a la actividad convectiva del monzón de Norteamérica y a tormentas locales, tienen relevancia tanto en términos de seguridad (infraestructura, incendios y transporte) como en impactos ambientales (dispersión de contaminantes y erosión eólica en zonas áridas).

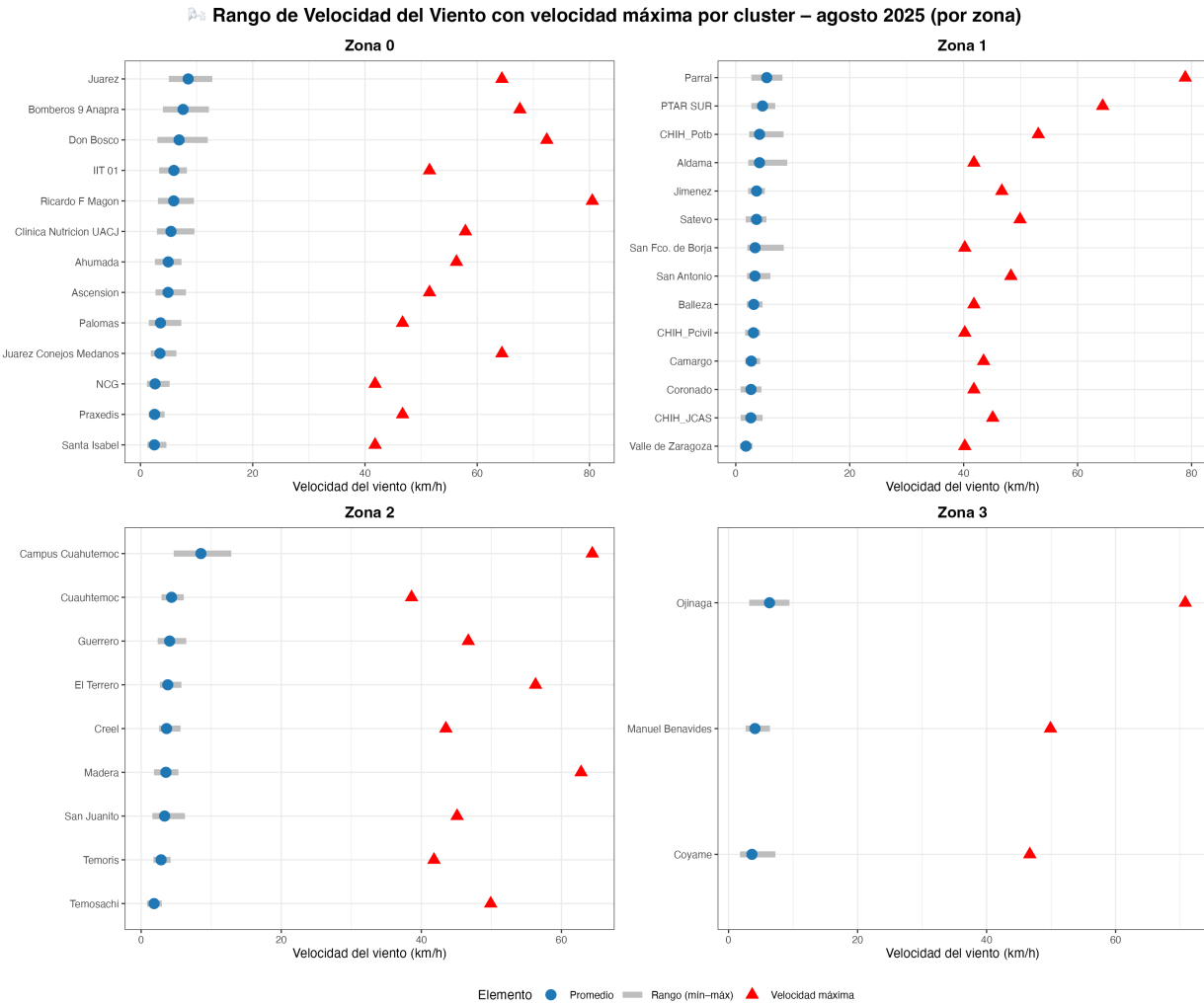


Figura 9: Comportamiento de la velocidad del viento para agosto 2025

### 5.3 Radiación

El análisis de la radiación global durante agosto de 2025 muestra un comportamiento relativamente estable en los promedios estatales, aunque con diferencias notables entre zonas y estaciones asociadas principalmente a la altitud, nubosidad y condiciones atmosféricas locales (Figura 10).

En la Zona 0 (norte y centro), los valores promedio se ubicaron en torno a 250–280 W/m<sup>2</sup>, con estaciones como Santa Isabel, NCG y Ascensión alcanzando los rangos más amplios, lo que refleja la incidencia de períodos con alta radiación solar alternados con días de mayor nubosidad.

La Zona 1 (centro-sur) presentó una mayor variabilidad. Estaciones como San Francisco de Borja y Aldama registraron rangos amplios que superaron los 500 W/m<sup>2</sup> en los máximos diarios, lo que sugiere días con cielos

despejados e intensa radiación. Sin embargo, otras estaciones como PTAR SUR, San Antonio y Balleza mostraron valores más bajos y estables, reflejando mayor cobertura nubosa en el mes.

En la Zona 2 (sierra), los promedios oscilaron entre 200 y 270 W/m<sup>2</sup>, destacando Cuauhtémoc y Campus Cuauhtémoc con rangos más amplios, en contraste con estaciones serranas como San Juanito y Creel, donde la radiación fue más atenuada debido a la altitud y a la presencia frecuente de nubosidad y tormentas.

Finalmente, en la Zona 3 (oriente), los valores fueron más homogéneos, con promedios cercanos a 230–260 W/m<sup>2</sup> en Ojinaga, Manuel Benavides y Coyame, aunque con amplitudes amplias en días despejados que superaron los 300 W/m<sup>2</sup>.

En conjunto, agosto de 2025 se caracterizó por una alta heterogeneidad espacial en la radiación, con los mayores valores en el centro-sur y norte del estado, mientras que las zonas serranas presentaron menor radiación promedio debido a la nubosidad y a la topografía. Este patrón tiene implicaciones directas en la disponibilidad energética solar, así como en los procesos de evapotranspiración y balance hídrico, factores relevantes para la agricultura y la gestión de recursos hídricos.

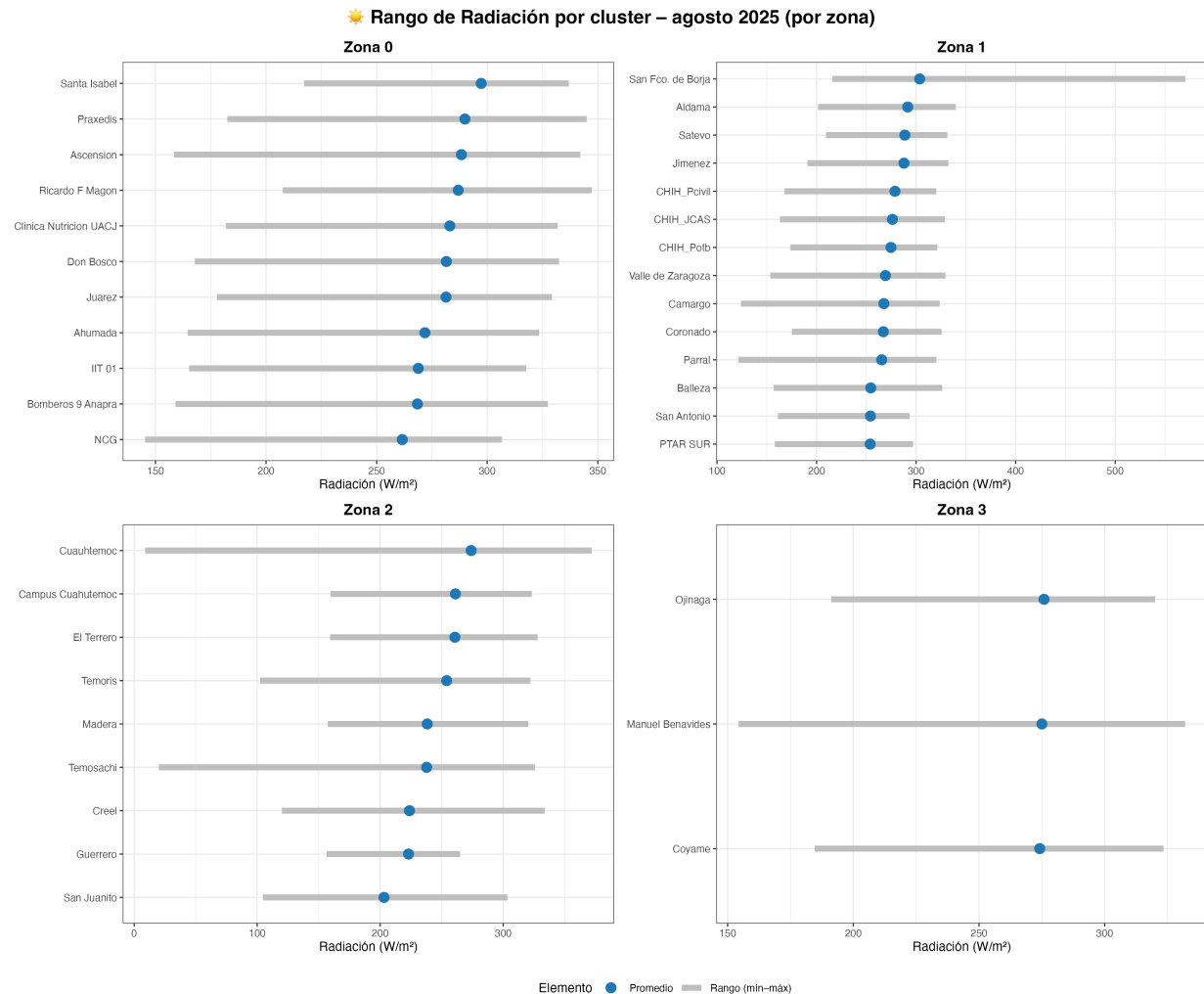


Figura 10: Comportamiento de la radiación solar incidente para agosto 2025

## 6 Actualización climatológica mensual: Conclusiones

El 15 de agosto del 2025 se llevó a cabo la reunión mensual del análisis climatológico el cual es liderado por la JCAS y la UACJ. En esta reunión se llegó a las siguientes conclusiones:

1. Las condiciones actuales continúan mostrando un umbral ENSO Neutro
2. La temperatura de las aguas superficiales en el Pacífico Ecuatorial están muy cercanos a sus valores promedio casi todo el Océano Pacífico.
3. Es probable que las condiciones de ENSO-neutral persistan todo el verano (56% de probabilidad en agosto-octubre), seguido con probabilidades de La Niña para el otoño e invierno 2025-26, aunque permanecerán cercanos a ENSO Neutro.
4. Los modelos indican que para a partir de septiembre, habrá una reducción en las precipitaciones en el norte del país.
5. Todavía está activo el Monzón, pero entrará a una fase de aminoramiento.

## 7 Conclusiones

Con base en los resultados presentados en el boletín RCCH-BOL-2025-08, se concluye lo siguiente:

El análisis climático de agosto de 2025 en el estado de Chihuahua evidencia un comportamiento heterogéneo de las principales variables meteorológicas. Las anomalías térmicas mostraron contrastes marcados: mientras la región norte y centro presentaron incrementos superiores a  $+2^{\circ}\text{C}$  respecto a la media histórica, la Sierra Tarahumara registró descensos significativos, alcanzando hasta  $-6^{\circ}\text{C}$  en San Juanito. Esta variabilidad confirma la fuerte influencia de factores locales (altitud, nubosidad, efecto de isla de calor) combinados con forzantes regionales como el monzón de Norteamérica y la circulación atmosférica general, generando implicaciones diferenciadas en agricultura, demanda energética y disponibilidad hídrica.

En cuanto a la precipitación, se identificó un patrón desigual. Zonas del centro-sur y de la sierra registraron acumulados superiores a 150 mm, mientras que en el norte y oriente se mantuvieron déficits significativos, con anomalías negativas de hasta  $-150$  mm en localidades como San Francisco de Borja y San Juanito. Este déficit pluviométrico, aunado a anomalías positivas de temperatura, sugiere condiciones de estrés hídrico con posibles repercusiones en la productividad agrícola, la recarga de acuíferos y la vulnerabilidad de ecosistemas rurales. A pesar de ello, se registraron episodios de lluvia extrema ( $>50$  mm en un solo día), que si bien contribuyen poco a la recarga de largo plazo, incrementan riesgos de inundaciones y escurrimientos súbitos.

Finalmente, variables complementarias como presión, radiación y viento presentaron comportamientos relativamente estables en promedio, aunque con eventos aislados de alta intensidad, particularmente ráfagas superiores a 80 km/h en el norte y centro-sur, y radiación elevada en sectores del centro del estado. Estos resultados, sumados al escenario de ENSO neutro y la transición prevista hacia condiciones de La Niña, apuntan a que la segunda mitad del año podría caracterizarse por menor precipitación en el norte del país. En conjunto, agosto de 2025 reafirma la necesidad de mantener y fortalecer la red de monitoreo climatológico para sustentar la gestión de riesgos hidrometeorológicos y apoyar la toma de decisiones estratégicas en los sectores agrícola, urbano y de protección civil. \_\_\_\_\_

Este documento fue generado automáticamente a partir de datos de la Red Climatológica de Chihuahua (JCAS-EMAS).

Para mayor información, contactar a:

clima@jcias.gob.mx comunicacionjcias@gmail.com 6144393500

Seguimos fortaleciendo la infraestructura de monitoreo en el estado.



JUNTA CENTRAL  
DE AGUA Y SANEAMIENTO  
DEL ESTADO DE CHIHUAHUA

